

## ПЛАВНЫЕ БОРЫ В ДВУХСЛОЙНОЙ ЖИДКОСТИ СО СВОБОДНОЙ ГРАНИЦЕЙ

УДК 532.59

Б. И. Тулеуов

Институт прикладной математики МНАН Республики Казахстан,  
470055 Караганда

В работе исследуются движения типа плавного бора двухслойной жидкости со свободной границей. Так называется движение, в котором однородное состояние перед волной непрерывным образом переходит в однородное состояние за волной. Следуя [1], будем называть предельные состояния на бесконечности сопряженными потоками. Нелинейные волны в двухслойной жидкости интенсивно изучались в последние десятилетия. Наиболее полно исследована модель двухслойной жидкости под крышкой. В этом случае имеется детальное описание параметров течений типа бора на основе длинноволнового приближения [2, гл. 1; 3]. Существование таких волн подтверждено экспериментально [4] и строго доказано для точных уравнений Эйлера [5, 6]. Уединенные волны в двухслойной жидкости со свободной границей без сдвига скорости между слоями изучались в [7], а в [8] для этого случая были получены и решения типа бора в рамках модифицированного приближения Кортвега — де Фриза.

На основе законов сохранения массы, энергии и импульса в данной работе проанализированы соотношения между параметрами сопряженных кусочно-постоянных потоков со свободной границей. Показано, что имеет место явление резонанса между бором и линейной волной, отсутствующее в двухслойной жидкости под крышкой [6]: вместе с нелинейным бором возникает периодическая волна много меньшей амплитуды с той же фазовой скоростью, что и у бора. Для допустимых чисел Фруда построено приближенное решение в длинноволновом пределе, описывающее профиль бора.

**Постановка задачи.** Рассматриваются установившиеся потенциальные движения двухслойной идеальной несжимаемой тяжелой жидкости со свободной границей над ровным дном. Будем считать, что более тяжелая жидкость находится снизу; обозначим индексом 1 величины, характеризующие течение в нижнем слое, а 2 — в верхнем. Предположим, что при  $x \rightarrow \pm\infty$  течение имеет вид кусочно-постоянного потока со скоростями  $U_i^\pm$  и глубинами  $h_i^\pm$  в слоях в подходящем среднем смысле, который будет уточнен позже. Основными безразмерными параметрами являются числа Фруда

$$Fr_i^\pm = U_i^\pm \sqrt{\frac{\rho_i}{\rho_1 - \rho_2} \frac{1}{gh_i^\pm}} \quad (i = 1, 2)$$

и отношения глубин невозмущенных слоев  $r^\pm = h_2^\pm/h_1^\pm$  ( $\rho_i$  — плотность жидкости в соответствующем слое, причем  $\rho_1 > \rho_2$ ). Удобно также ввести амплитудные параметры  $a_i = (h_i^+ - h_i^-)/h_i^-$  ( $i = 1, 2$ ), которые выражают относительный перепад уровней в каждом слое. В дальнейшем для определенности будем оперировать параметрами состояния, достигаемого при  $x \rightarrow -\infty$ , и индекс минус в обозначениях его параметров опустим. Параметры состояния при  $x \rightarrow +\infty$  определяются из закона сохранения расходов в слоях. Сформулируем задачу в фиксированной области изменения независимых переменных, в качестве которых выберем переменные Мизеса  $(x, \psi)$ , где  $\psi$  — функция тока. Нормируем  $\psi$  так, чтобы нижнему слою в плоскости  $(x, \psi)$  соответствовала полоса  $0 \leq \psi \leq 1$ , а верхнему  $0 \leq \psi \leq 1 + r$ . Искомой является функция, выражающая форму линий тока  $y(x, \psi) = \psi + w(x, \psi)$ . Функция  $w$  должна удовлетворять следующей системе уравнений и

граничных условий:

$$w_{xx} + w_{\psi\psi} = \operatorname{div} \mathbf{f}(\nabla w) \quad \text{при} \quad 0 < \psi < 1 \quad \text{и} \quad 1 < \psi < 1 + r; \quad (1)$$

$$w = 0 \quad \text{при} \quad \psi = 0; \quad (2)$$

$$(w) \Big|_{\psi=1-0} = (w) \Big|_{\psi=1+0}; \quad (3)$$

$$\operatorname{Fr}_1^2 (w_{\psi} - f_2) \Big|_{\psi=1-0} - w(x, 1) = r \operatorname{Fr}_2^2 (w_{\psi} - f_2) \Big|_{\psi=1+0}; \quad (4)$$

$$\mu r \operatorname{Fr}_2^2 (w_{\psi} - f_2) - \lambda w = 0 \quad \text{при} \quad \psi = 1 + r, \quad (5)$$

а также условиям на бесконечности:

$$w \rightarrow 0, \quad \nabla w \rightarrow 0 \quad \text{при} \quad x \rightarrow -\infty; \quad (6)$$

$$\left. \begin{array}{l} w(x, 1) \rightarrow a_1, \quad w(x, 1+r) \rightarrow a_1 + ra_2 \\ w_x \rightarrow 0, \quad w_{\psi} \rightarrow a_i \quad \text{в } i\text{-м слое} \end{array} \right\} \quad \text{при} \quad x \rightarrow +\infty. \quad (7)$$

Здесь  $\lambda = \rho_2/\rho_1$ ;  $\mu = 1 - \lambda$ ; вектор  $\mathbf{f}$  имеет компоненты

$$f_1 = \frac{w_x w_{\psi}}{1 + w_{\psi}}, \quad f_2 = \frac{1}{2} \frac{w_x^2 + 3w_{\psi}^2 + 2w_{\psi}^3}{(1 + w_{\psi})^2}.$$

Пределы в (6) и (7) будем понимать следующим образом. Предполагается, что при  $x \rightarrow \pm\infty$  в нижнем слое решение представимо в виде  $w(x, \psi) = a_1^{\pm} \psi + b w_p^{\pm}(x, \psi) + w_e^{\pm}(x, \psi)$ , где  $a_1^+ = a_1$ ;  $a_1^- = 0$ ;  $w_p^{\pm}$  — периодическая по  $x$  функция с нулевым средним за период;  $b$  — малый амплитудный параметр периодической составляющей; функция  $w_e^{\pm}$  стремится к нулю при  $x \rightarrow \pm\infty$ . Аналогичное представление подразумевается и в верхнем слое. Как будет видно в дальнейшем, необходимость учета периодической компоненты решения вытекает из структуры спектра линеаризованной задачи.

**Анализ законов сохранения.** Для вывода соотношений между параметрами состояний на бесконечности воспользуемся интегральным законом сохранения потока горизонтального импульса [2, гл. 1], который в нашем случае имеет вид

$$\operatorname{Fr}_1^2 \int_0^1 \frac{w_x^2 - w_{\psi}^2}{1 + w_{\psi}} d\psi + r \operatorname{Fr}_2^2 \int_1^{1+r} \frac{w_x^2 - w_{\psi}^2}{1 + w_{\psi}} d\psi = -w(x, 1)^2 - \frac{\lambda}{\mu} w(x, 1+r)^2. \quad (8)$$

В этом интеграле, а также в граничных условиях (4) и (5), учитывающих законы сохранения массы и потоков энергии, выполняется предельный переход при  $x \rightarrow +\infty$  с учетом асимптотики (7). Тогда в нулевом приближении по параметру  $b$  для чисел Фруда получаются явные выражения через амплитуды  $a_i$ :

$$\operatorname{Fr}_1^2 = \frac{2}{\mu} \frac{(1 + a_1)^2 (a_1 + \lambda r a_2)}{a_1 (a_1 + 2)}, \quad \operatorname{Fr}_2^2 = \frac{2}{r \mu} \frac{\lambda (1 + a_2)^2 (a_1 + r a_2)}{a_2 (a_2 + 2)}, \quad (9)$$

а амплитуды, в свою очередь, связаны соотношением

$$F(a_1, a_2) \equiv a_1^2 (a_1 + \lambda r a_2) (a_2 + 2) + \lambda r a_2^2 (a_1 + r a_2) (a_1 + 2) = 0. \quad (10)$$

Формулы (9) и (10) определяют в плоскости чисел Фруда ( $\operatorname{Fr}_1, \operatorname{Fr}_2$ ) геометрическое место точек, изображающих допустимые состояния жидкости при  $x \rightarrow -\infty$ . При этом поток при

$x \rightarrow +\infty$  имеет следующие числа Фруда:

$$|\text{Fr}_1^+| = \frac{1}{1+a_1} |\text{Fr}_1|, \quad |\text{Fr}_2^+| = \frac{1}{1+a_2} |\text{Fr}_2|.$$

Возьмем в качестве основного малого амплитудного параметра величину  $a_1$ . Заметим, что  $a_1 a_2 < 0$ . Несложно установить, что  $1/r < |a_2/a_1| < 1/\lambda r$ , в частности,  $-1 < a_1 < \lambda r$ ,  $-1 < a_2 < 1/r$ .

Уравнение (10) задает амплитуду  $a_2$  как неявную функцию от  $a_1$ . При малых  $a_1$  справедливо разложение

$$a_2(a_1) = -\xi_0 a_1 + \xi_1 a_1^2 + o(a_1^2), \quad (11)$$

где  $-\xi_0 (1/r < \xi_0 < 1/\lambda r)$  — единственный вещественный отрицательный корень кубического уравнения

$$\xi^3 + \frac{1}{r} \xi^2 + \frac{1}{r} \xi + \frac{1}{\lambda r^2} = 0,$$

а коэффициент  $\xi_1$  имеет вид

$$\xi_1 = \frac{1}{2\lambda r} \frac{(1 - \lambda r \xi_0)(1 + \xi_0)}{1 - 2\xi_0 + 3r\xi_0^2}.$$

Формулы (9) с учетом (11) дают выражение

$$\text{Fr}_2^2 = \beta_0 - \frac{1}{r^2 \xi_0^2} (\text{Fr}_1^2 - \alpha_0) + o(\text{Fr}_1^2 - \alpha_0), \quad (12)$$

справедливое в окрестности точек  $\text{Fr}_1^2 = \alpha_0$ ,  $a_1 = 0$ , где  $\alpha_0 = (1/\mu)(1 - \lambda r \xi_0)$ ,  $\beta_0 = (\lambda/\mu)(1 - 1/r \xi_0)$  — главные члены разложения по степеням  $a_1$  квадратов чисел Фруда  $\text{Fr}_1^2$  и  $\text{Fr}_2^2$  соответственно.

**Линейные волны.** Линеаризация исходной системы на кусочно-постоянном решении с параметрами  $\text{Fr}_i$  и  $r$  дает уравнения (1)–(5) с  $\mathbf{f} = 0$ . Линеаризованные уравнения имеют решение в виде периодических волн  $w_p(x, \psi) = W(\psi)e^{ikx}$ , если только волновое число  $k$  и параметры основного потока связаны дисперсионным соотношением

$$\left( \text{Fr}_1^2 - \frac{1}{\mu} \frac{\text{th } k}{k} \right) \left( \text{Fr}_2^2 - \frac{\lambda}{\mu} \frac{\text{th } kr}{kr} \right) + \frac{\lambda^2}{\mu^2} \frac{\text{th } k}{k} \frac{\text{th } kr}{kr} \left( \frac{\mu^2}{\lambda^2} \text{Fr}_2^4 k^2 r^2 - 1 \right) = 0. \quad (13)$$

При изменении  $|k|$  от 0 до  $+\infty$  множество точек  $(\text{Fr}_1, \text{Fr}_2)$ , координаты которых удовлетворяют (13), образует спектр линейных волн бесконечно малой амплитуды. Для выяснения структуры спектра рассмотрим дисперсионное соотношение как биквадратное уравнение относительно  $\text{Fr}_2$ . Его можно факторизовать в виде  $(\text{Fr}_2^2 - \text{Fr}_{2/1}^2)(\text{Fr}_2^2 - \text{Fr}_{2/2}^2) = 0$ , с корнями

$$\text{Fr}_{2/1}^2 = \left( - \left( \text{Fr}_1^2 - \frac{1}{\mu} \frac{\text{th } k}{k} \right) + \sqrt{D} \right) / (2r \text{th } k \text{th } kr),$$

$$\text{Fr}_{2/2}^2 = \left( - 2 \frac{\lambda}{\mu} \frac{\text{th } kr}{kr} \right) / \left( - \left( \text{Fr}_1^2 - \frac{1}{\mu} \frac{\text{th } k}{k} \right) + \sqrt{D} \right),$$

определяющими семейства кривых, зависящих от параметра  $k$ , и с дискриминантом

$$D = \left( \text{Fr}_1^2 - \frac{1}{\mu} \frac{\text{th } k}{k} \right)^2 + 4 \frac{\lambda}{\mu} \frac{\text{th } k}{k} \text{th}^2 kr \left( \text{Fr}_1^2 - \frac{1}{\mu} \frac{\text{th } k}{k} \right),$$

который строго положителен для всех конечных значений  $k$ . Вид представителей этих семейств на плоскости чисел Фруда  $(\text{Fr}_1, \text{Fr}_2)$  при фиксированных  $k$  и  $r$  приведен на рис. 1:

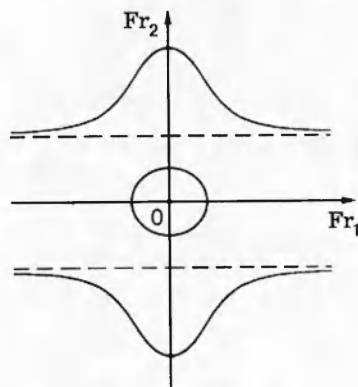


Рис. 1

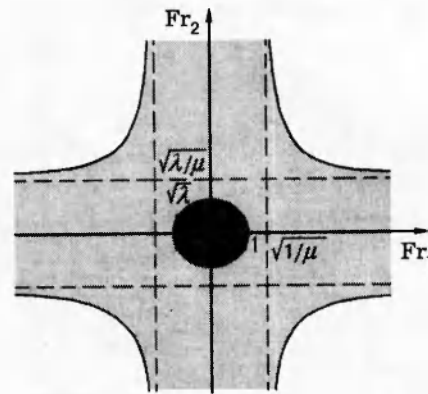


Рис. 2

кривая первого семейства есть пара  $\delta$ -образных кривых, второго — овал. Так как  $D \sim Fr_1^2$  при  $k \rightarrow \infty$ , то кривые первого семейства при этом вырождаются в прямую  $Fr_{2/1} = 0$ , а второго — в точку  $(0, 0)$ . Переход к пределу при  $k \rightarrow 0$  в уравнении (13) задает в плоскости  $(Fr_1, Fr_2)$  кривую четвертого порядка

$$\left(Fr_1^2 - \frac{1}{\mu}\right)\left(Fr_2^2 - \frac{\lambda}{\mu}\right) - \frac{\lambda^2}{\mu^2} = 0, \quad (14)$$

состоящую из вписанного в прямоугольник  $[-1, 1] \times [-\sqrt{\lambda}, \sqrt{\lambda}]$  овала и четырех ветвей типа гипербол с вертикальными асимптотами  $Fr_1 = \pm\sqrt{1/\mu}$  и горизонтальными асимптотами  $Fr_2 = \pm\sqrt{\lambda/\mu}$  (рис. 2). Отметим, что в [2] кривая (14) играет важную роль при анализе характеристик квазилинейной системы уравнений двухслойной мелкой воды. Вся односвязная область, заключенная между гиперболическими ветвями (куда попадает и овал, содержащий кривые второго семейства — концентрические овалы), непрерывно заполняется двояксимметрическими  $\delta$ -образными кривыми первого семейства.

Таким образом, для любых значений  $Fr_1, Fr_2$  из указанной области всегда существует волновая мода (точнее, две моды волн, распространяющихся в противоположных направлениях; для краткости будем их объединять), определяемая первым семейством; еще одна мода существует для  $Fr_1, Fr_2$ , попадающих внутрь овала (необходимое условие:  $Fr_1^2 < 1, Fr_2^2 < \lambda$ ). Первая из этих мод характеризует быстрые волны с большей амплитудой на свободной поверхности, вторая описывает медленные волны с доминирующей амплитудой на границе раздела. Как и в случае двухслойной жидкости под крышкой [6], течение типа бора ответвляется от кусочно-постоянного равномерного потока в граничной точке части спектра, соответствующей моде внутренних волн.

Действительно, несложно проверить, что точки  $Fr_1^2 = \alpha_0, Fr_2^2 = \beta_0$  принадлежат овалу, а из разложения (12) следует, что кривая возможных состояний для течений типа бора имеет с овалом касание первого порядка (можно показать, что касание внешнее). Однако в отличие от вышеупомянутого случая течений под крышкой ветвление происходит внутри спектра линейных волн. Другими словами, бор должен появляться в паре с прогрессивной периодической волной, период которой задается поверхностной модой согласно дисперсионному соотношению (13). Эта ситуация аналогична суперпозиции уединенной волны и быстро осциллирующей капиллярной волны на поверхности тонкого слоя жидкости при числах Бонда  $Bo < 1/3$  [9].

**Приближенное решение.** Рассмотрим значения параметров  $Fr_1^2$  и  $Fr_2^2$ , удовлетворяющие системе (9), (10). При малых  $a_1 \neq 0$  для таких чисел Фруда дисперсионное соотношение имеет относительно  $k$  только один вещественный корень, определяемый кривой

первого семейства  $\text{Fr}_{2/1}$ . Другой корень (комплексный) определяется кривой второго семейства и является чисто мнимым:  $k = i\varepsilon$ . Разложение всех величин в дисперсионном соотношении в ряды по степеням параметра  $a_1$  показывает, что  $\varepsilon$  и  $a_1$  имеют одинаковый порядок малости:  $\varepsilon = \varepsilon_1 a_1 + o(a_1)$  (не приводим явное выражение для  $\varepsilon_1 \neq 0$ , так как конкретный его вид не играет здесь никакой роли). Малость  $\varepsilon$  при малых  $a_1$  означает, что для соответствующих чисел Фруда течение носит длинноволновый характер. Поэтому естественно сделать преобразование в духе теории мелкой воды:  $x' = \varepsilon x$  (в дальнейшем штрих опускаем). Это эквивалентно выбору в качестве характерной длины по горизонтали величины  $h_1/\varepsilon$ . Приближенное решение ищем в виде

$$y = \psi + \sum_{n=1}^{\infty} a_1^n w_n(x, \psi).$$

Тогда система (1)–(5) с учетом разложений чисел Фруда дает последовательность краевых задач для определения функций  $w_n$ ; при  $n = 1$  имеем

$$w_1 \psi = 0 \text{ при } 0 < \psi < 1 \text{ и } 1 < \psi < 1 + r, \quad w_1 = 0 \text{ при } \psi = 0,$$

$$(w_1) \Big|_{\psi=1-0} = (w_1) \Big|_{\psi=1+0}, \quad \alpha_0(w_1 \psi) \Big|_{\psi=1-0} - r\beta_0(w_1 \psi) \Big|_{\psi=1+0} - w_1(x, 1) = 0,$$

$\mu r \beta_0 w_1 \psi - \lambda w_1 = 0$  при  $\psi = 1 + r$ . Для этого приближения условия на бесконечностях следующие:

$$w_1 \rightarrow 0, \quad \nabla w_1 \rightarrow 0 \text{ при } x \rightarrow -\infty,$$

$$w_1 = \begin{cases} \psi, & 0 \leq \psi \leq 1, \\ 1 - \xi_0(\psi - 1), & 1 \leq \psi \leq 1 + r \text{ при } x \rightarrow +\infty. \end{cases}$$

Тогда

$$w_1(x, \psi) = A(x) \begin{cases} \psi, & 0 \leq \psi \leq 1, \\ 1 + (1 - \psi)\xi_0, & 1 \leq \psi \leq 1 + r. \end{cases}$$

Обыкновенное дифференциальное уравнение для определения  $A(x)$  получается как условие совместности уравнений для третьего приближения:  $A'' = 2A^3 - 3A^2 + A$  (штрих означает дифференцирование по  $x$ ). Решение типа бора с точностью до переноса по  $x$  запишем в виде

$$A(x) = \frac{1}{2} \left( 1 + i \operatorname{th} \frac{\alpha x}{2} \right),$$

где постоянная  $\alpha$ , принимающая значения  $\pm 1$ , имеет смысл параметра, указывающего сторону обращения волны.

В заключение отметим, что четыре точки на овале с координатами  $\text{Fr}_1 = \pm\sqrt{\alpha_0}$ ,  $\text{Fr}_2 = \pm\sqrt{\beta_0}$  разбивают границу спектра линейных волн внутренней моды на четыре дуги. Каждая из этих дуг состоит из точек бифуркации, в которых рождаются ветви уединенных внутренних волн в паре с линейной волной поверхностной моды.

Автор выражает благодарность Н. И. Макаренко за постановку задачи и постоянное внимание к работе.

#### ЛИТЕРАТУРА

1. Benjamin T. B. A unified theory of conjugate flows // Philos. Trans. Roy. Soc. London A. 1971. V. 269. P. 587–643.

2. **Овсянников Л. В., Макаренко Н. И., Налимов В. И. и др.** Нелинейные проблемы теории поверхностных и внутренних волн. Новосибирск: Наука, 1985.
3. **Funakoshi M.** Long internal waves in a two-layer fluid // J. Phys. Soc. Japan. 1985. V. 54. P. 2470–2476.
4. **Гаврилов Н. В.** Неподвижные в лабораторной системе координат внутренние уединенные волны и плавные боры // ПМТФ. 1994. Т. 35, № 1. С. 29–34.
5. **Amick C. J., Turner R. E. L.** Small internal waves in two-fluid systems // Arch. Rat. Mech. Anal. 1989. V. 108, N 2. P. 111–139.
6. **Makarenko N. I.** Smooth bore in a two-layer fluid // Int. Ser. Numer. Math. 1992. V. 106. P. 195–204.
7. **Peters A. S., Stoker J. J.** Solitary waves in liquids having non-constant density // Comm. Pure Appl. Math. 1960. V. 13. P. 115–164.
8. **Kakutani T., Yamasaki N.** Solitary waves on a two-layer fluid // J. Phys. Soc. Japan. 1978. V. 45. P. 674–679.
9. **Beale J. T.** Exact solitary water waves with capillary ripples at infinity // Comm. Pure Appl. Math. 1991. V. 64. P. 211–257.

*Поступила в редакцию 12/II 1996 г.*

---